

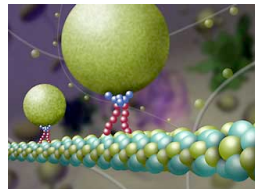
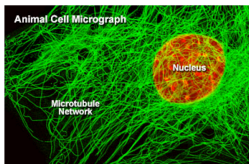
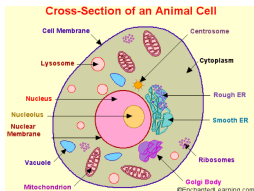
Modélisation des Trajectoires Virales dans le Cytoplasme Un Problème d' "Échappée Belle"

Thibault Lagache

École Normale Supérieure, Université Paris Diderot

11 Février 2010

Organisation Cellulaire et Transport



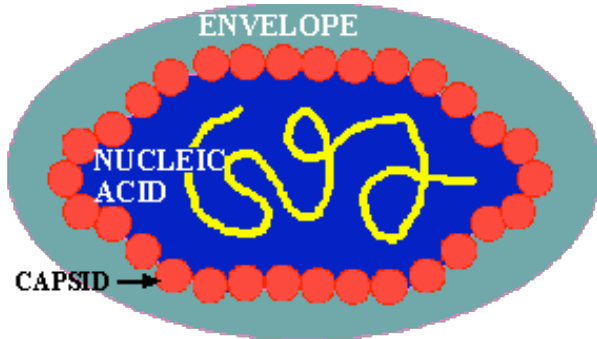
Une organisation complexe
de la cellule

Réseau de microtubules

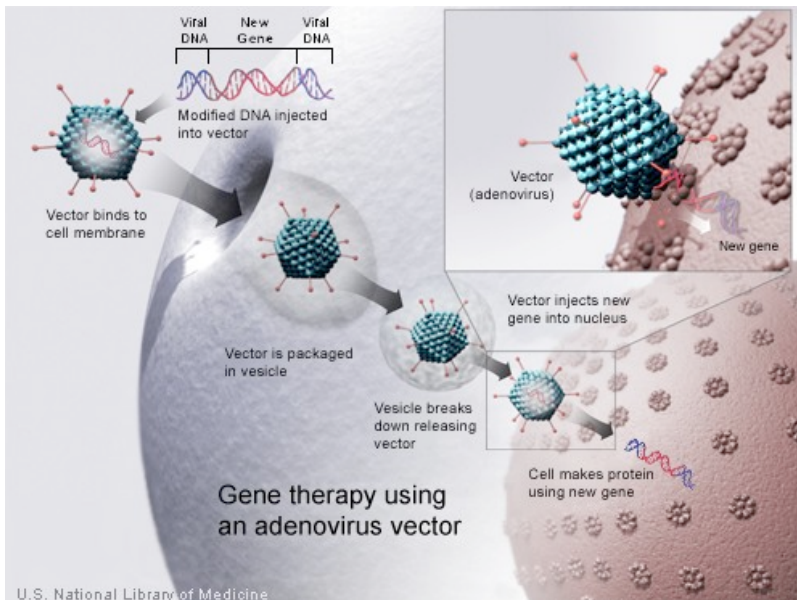
Transport actif
sur les microtubules

- Transport Intermittent (diffusion/transport actif)
- Cadre général pour étudier ces trajectoires intermittentes?
- Premier Temps de Passage Moyen (PTPM) et Probabilité qu'un virus atteigne un pore nucléaire?

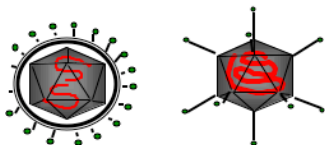
Structure d'un virus



Vecteurs Viraux en Thérapie Génique



VECTEURS VIRAUX

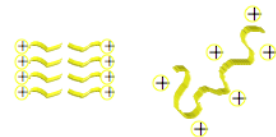


1-100

3 - 8

30-100 nm

VECTEURS SYNTHÉTIQUES



10^4 - 10^6

> 150

variable

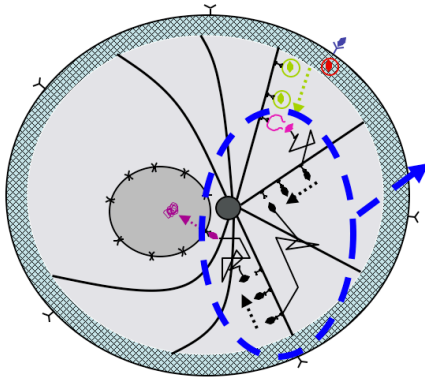
efficacité in vitro
(gènes/cellule)

taille du génome
(kbp)

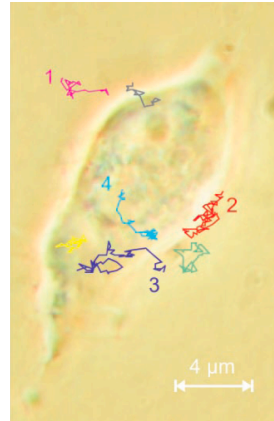
taille de la
particule

Peu efficaces!

Étapes précoces de l'infection virale



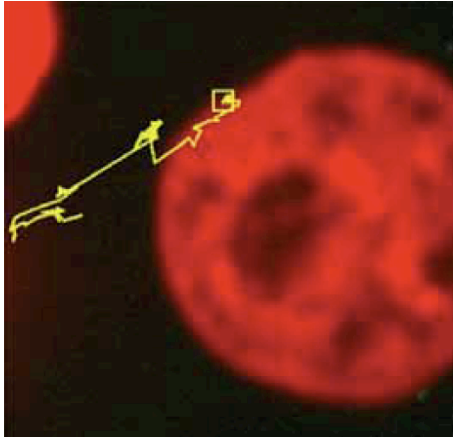
Déplacement libre du virus dans le cytoplasme



Peu de vecteurs synthétiques atteignent un pore nucléaire!

- Modélisation des trajectoires virales
- Atteindre un pore nucléaire= Problème d' "échappée belle"
- Prise en compte de plusieurs pores

- **Modélisation des trajectoires virales**
- Atteindre un pore nucléaire= Problème d' "échappée belle"
- Prise en compte de plusieurs pores



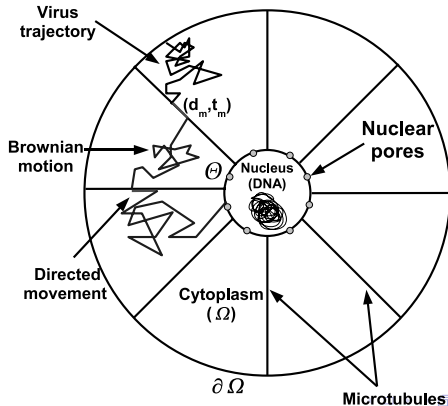
- Mouvement intermittent (Diffusion \Leftrightarrow Transport actif)
- Transport actif grâce à des moteurs moléculaires le long des microtubules
- Les virus doivent atteindre un pore nucléaire

Modélisation des Trajectoires Intermittentes

Dynamique Intermittente

$$\dot{\mathbf{x}} = \sqrt{2D}\dot{\mathbf{w}} \text{ Virus Libre,}$$

$$\dot{\mathbf{x}} = \mathbf{V} \text{ Virus Transporté .}$$

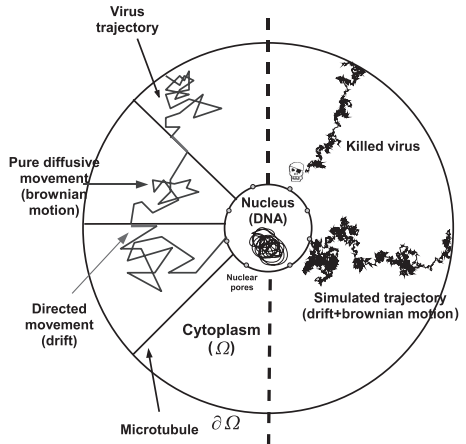


Description de Langevin des Trajectoires

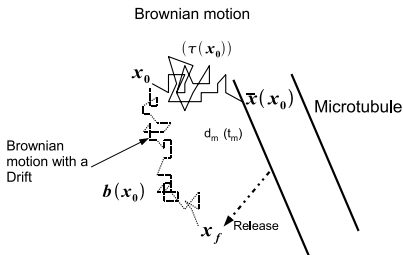
Dynamique de Langevin

$$\dot{\mathbf{x}} = \mathbf{b}(\mathbf{x}) + \sqrt{2D}\dot{\mathbf{w}}$$

+taux de dégradation
 $k(\mathbf{x})$



Premier temps de passage moyen (PTPM) de x_0 à x_f égal pour les trajectoires intermittente et homogénéisée

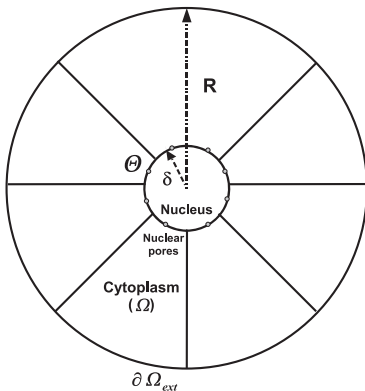


Pour une diffusion $D \ll 1$

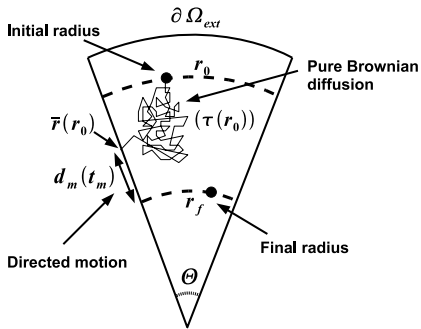
$$\frac{\|\mathbf{x}_f - \mathbf{x}_0\|}{b(\mathbf{x}_0)} = \tau(\mathbf{x}_0) + t_m$$

Représentation de la Cellule

Cellule radiale 2-dimensionnelle avec N microtubules uniformément distribués ($\Theta = 2\pi/N$):



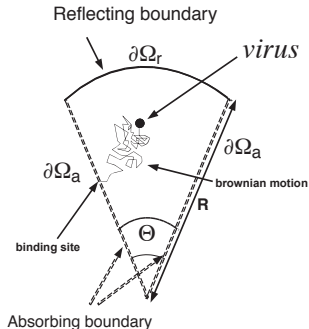
Étape fondamentale



Pour une diffusion $D \ll 1$

$$\frac{r_0 - r_f}{b(r_0)} = \frac{r_0 - (\bar{r}(r_0) - d_m)}{b(r_0)} = \tau(r_0) + t_m$$

$u(r, \theta) = \text{PTPM à un microtubule}$



Équation de Dynkin

$$\begin{aligned} D\Delta u(r, \theta) &= -1 \text{ in } \tilde{\Omega} \\ u(r, 0) = u(r, \Theta) &= 0, \\ \frac{\partial u}{\partial r}(R, \theta) &= 0. \end{aligned}$$

Pour $\Theta \ll 1$

$$\tau(r_0) = \frac{1}{\Theta} \int_0^\Theta u(r_0, \theta) d\theta \approx r_0^2 \frac{\Theta^2}{12D}$$

Équation de la chaleur

$$\begin{aligned}D\Delta p(r, \theta, t) &= \frac{\partial p}{\partial t}(r, \theta, t) \text{ in } \tilde{\Omega} \\p(r, 0, t) = p(r, \Theta), t &= 0, \\ \frac{\partial p}{\partial r}(R, \theta, t) &= 0.\end{aligned}$$

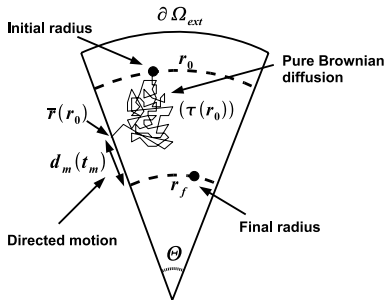
Distribution du rayon d'attache:

$$\epsilon(r|r_0, \theta_0) = \int_0^\infty j(r, t|r_0, \theta_0) dt = -D \int_0^\infty \frac{\partial p}{\partial n}(r, t|r_0, \theta_0) dt.$$

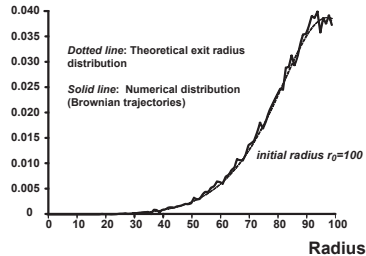
Rayon d'attache moyen:

$$\bar{r}(r_0) = \frac{1}{\Theta} \int_0^\Theta \int_0^R r \epsilon(r|r_0, \theta_0) d\theta_0$$

Test Contre des Simulations Browniennes et Asymptotique pour $\Theta \ll 1$



Exit radius distribution



Pour $\Theta \ll 1$

$$\bar{r}(r_0) \approx r_0 \left(1 + \frac{\Theta^2}{12} \right)$$

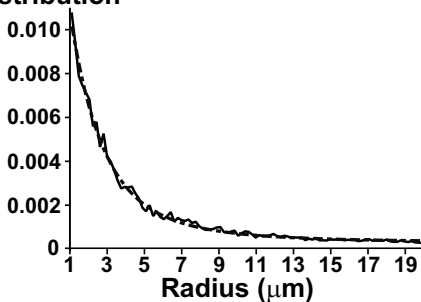
$$b(r_0) = \frac{r_0 - (\bar{r}(r_0) - d_m)}{\tau(r_0) + t_m} = \frac{d_m - r_0 \frac{\Theta^2}{12}}{t_m + r_0^2 \frac{\Theta^2}{12D}}.$$

$$\Phi(r) = \frac{d_m \sqrt{12Dt_m}}{t_m \Theta} \arctan\left(\frac{\Theta r}{\sqrt{12Dt_m}}\right) - \frac{D}{2} \ln(12Dt_m + r^2 \Theta^2)$$

$$b(r_0) = \frac{r_0 - (\bar{r}(r_0) - d_m)}{\tau(r_0) + t_m} = \frac{d_m - r_0 \frac{\Theta^2}{12}}{t_m + r_0^2 \frac{\Theta^2}{12D}}$$

$$\Phi(r) = \frac{d_m \sqrt{12Dt_m}}{t_m \Theta} \arctan\left(\frac{\Theta r}{\sqrt{12Dt_m}}\right) - \frac{D}{2} \ln(12Dt_m + r^2\Theta^2)$$

Steady State Distribution



Probability et PTPM à un Pore Nucléaire dans une Cellule Radiale

$$P_n \approx \frac{d_m}{d_m + K} \left(1 - \frac{K\delta(d_m\delta + Dt_m)}{12Dt_m d_m (d_m + K)} \Theta^2 \right)$$
$$\tau_n \approx \frac{K}{k(d_m + K)} \left(1 + \frac{\delta(d_m\delta + Dt_m)}{12Dt_m (d_m + K)} \Theta^2 \right).$$

avec $K = 2k_0\delta t_m \ln\left(\frac{1}{\epsilon}\right)$ et $\alpha = \left(1 + \frac{R+\delta}{d_m}\right) \frac{1}{24}$.

Probability et PTPM à un Pore Nucléaire dans une Cellule Radiale

$$P_n \approx \frac{d_m}{d_m + K} \left(1 - \frac{K\delta(d_m\delta + Dt_m)}{12Dt_m d_m (d_m + K)} \Theta^2 \right)$$
$$\tau_n \approx \frac{K}{k(d_m + K)} \left(1 + \frac{\delta(d_m\delta + Dt_m)}{12Dt_m (d_m + K)} \Theta^2 \right).$$

avec $K = 2k_0\delta t_m \ln\left(\frac{1}{\epsilon}\right)$ et $\alpha = \left(1 + \frac{R+\delta}{d_m}\right) \frac{1}{24}$.

Avec les Paramètres Biologiques

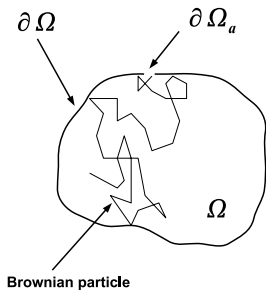
$$P_n \approx 95\%$$

$$\tau_n \approx 3min.$$

sans dérive: $\tau_n \approx 15min.$

- Modélisation des trajectoires virales
- **Atteindre un pore nucléaire= Problème d’
"échappée belle"**
- Prise en compte de plusieurs pores

Problème d'Échappée Belle



$$d=2 \Rightarrow \epsilon = \frac{|\partial\Omega_a|}{|\partial\Omega|}$$
$$d=3 \Rightarrow \epsilon = \text{rayon du trou}$$

$$\epsilon \ll 1$$

Temps Moyen d'Échappée

$$\begin{cases} \tau^{2d} = |\Omega| \frac{\ln\left(\frac{1}{\epsilon}\right)}{D\pi}, \\ \tau^{3d} = \frac{|\Omega|}{4D\epsilon}. \end{cases}$$

M. J. Ward, J. B. Keller, *SIAM J. Appl. Math.* **53** (1993)

D. Holcman, Z. Schuss, *J. of Stat. Phys.* **117** (2004).

Probabilité Conditionnelle:

$$p(\mathbf{x}, t) = \int_{\Omega} Pr\{X(t) \in \mathbf{x} + d\mathbf{x} | X(0) = \mathbf{y}\} p_i(\mathbf{y}) d\mathbf{y}$$

Équation de Fokker-Planck

$$\partial_t p = D\Delta p - \nabla \cdot (p\nabla b(\mathbf{x})) - k(\mathbf{x}) p$$

conditions au bord: $p = 0$ sur $\partial\Omega_a$ (pores nucléaires) et $J(\mathbf{x}, t) \cdot \mathbf{n}_x = (-D\nabla p(\mathbf{x}, t) + \mathbf{b}(\mathbf{x})p(\mathbf{x}, t)) \cdot \mathbf{n}_x = 0$ sur $\partial\Omega - \partial\Omega_a$.

Probabilité Conditionnelle:

$$p(\mathbf{x}, t) = \int_{\Omega} Pr\{X(t) \in \mathbf{x} + d\mathbf{x} | X(0) = \mathbf{y}\} p_i(\mathbf{y}) d\mathbf{y}$$

Équation de Fokker-Planck

$$\partial_t p = D\Delta p - \nabla(p\nabla b(\mathbf{x})) - k(\mathbf{x})p$$

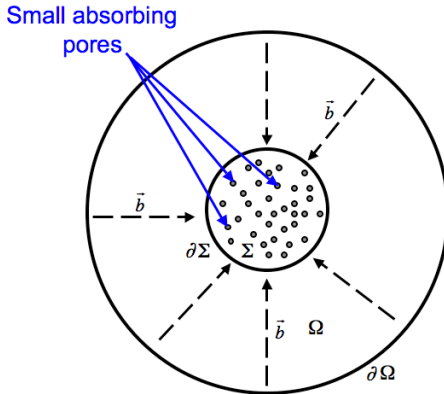
conditions au bord: $p = 0$ sur $\partial\Omega_a$ (pores nucléaires) et $J(\mathbf{x}, t) \cdot \mathbf{n}_x = (-D\nabla p(\mathbf{x}, t) + \mathbf{b}(\mathbf{x})p(\mathbf{x}, t)) \cdot \mathbf{n}_x = 0$ sur $\partial\Omega - \partial\Omega_a$.

P_n et τ_n

$$P_n = 1 - \int_{\Omega} k(\mathbf{x})\tilde{p}(\mathbf{x})d\mathbf{x}$$
$$\tau_n = \frac{\int_{\Omega} \tilde{p}(\mathbf{x})d\mathbf{x} - \int_0^{\infty} \int_{\Omega} k(\mathbf{x})tp(\mathbf{x}, t)d\mathbf{x}dt}{P_n}$$

avec $\tilde{p}(\mathbf{x}) = \int_0^{\infty} p(\mathbf{x}, t)dt$

Asymptotiques de l'Échappée Belle: Hypothèses



- n petits pores $= \partial\Omega_a$
- $\frac{|\partial\Omega_a|}{|\partial\Omega|} = n\epsilon$, pour $d=2$, ou $n\pi\epsilon^2/|\partial\Omega|$, pour $d=3$, avec $\epsilon \ll 1$
- petit taux de dégradation $k \ll 1$
- $\mathbf{b} = -\nabla\Phi$, $\Phi(\mathbf{x}) = \Phi_0$ for $\mathbf{x} \in \partial\Omega_a$ (ex. **dérive radiale avec un noyau au centre de la cellule**)

Résultats Asymptotiques en ϵ

$$\left\{ \begin{array}{l} P_n = \frac{e^{-\frac{\Phi_0}{D}}}{f_d(\epsilon) \int_{\Omega} e^{-\frac{\Phi(x)}{D}} k(x) dx + e^{-\frac{\Phi_0}{D}}}, \\ \tau_n = \frac{f_d(\epsilon) \int_{\Omega} e^{-\frac{\Phi(x)}{D}} dx}{f_d(\epsilon) \int_{\Omega} e^{-\frac{\Phi(x)}{D}} k(x) dx + e^{-\frac{\Phi_0}{D}}}, \end{array} \right.$$

$$f_2(\epsilon) = \frac{\ln\left(\frac{1}{n\epsilon}\right)}{D\pi} \text{ et } f_3(\epsilon) = \frac{1}{4Dn\epsilon}$$

D. Holcman, *J. Stat. Phys.* **127** (2007)

Résultats Asymptotiques en ϵ

$$\left\{ \begin{array}{l} P_n = \frac{e^{-\frac{\Phi_0}{D}}}{f_d(\epsilon) \int_{\Omega} e^{-\frac{\Phi(x)}{D}} k(x) dx + e^{-\frac{\Phi_0}{D}}}, \\ \tau_n = \frac{f_d(\epsilon) \int_{\Omega} e^{-\frac{\Phi(x)}{D}} dx}{f_d(\epsilon) \int_{\Omega} e^{-\frac{\Phi(x)}{D}} k(x) dx + e^{-\frac{\Phi_0}{D}}}, \end{array} \right.$$

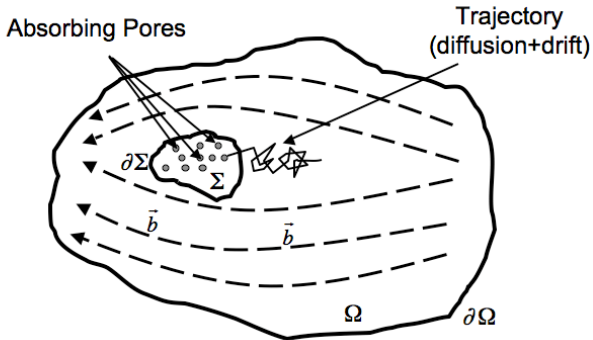
$$f_2(\epsilon) = \frac{\ln\left(\frac{1}{n\epsilon}\right)}{D\pi} \text{ et } f_3(\epsilon) = \frac{1}{4Dn\epsilon}$$

D. Holcman, *J. Stat. Phys.* **127** (2007)

Problème: formules plus valables pour beaucoup de trous!

- Modélisation des trajectoires virales
- Atteindre un pore nucléaire= Problème d' "échappée belle"
- **Prise en compte de plusieurs pores**

fenêtres absorbantes distribuées sur une structure (noyau) Σ



Résultats Électrostatiques ($\mathbf{b} = \mathbf{0}, k = 0$)

$$\tau_n = \frac{\frac{1}{4Dn\epsilon} \int_{\Omega} e^{-\frac{\Phi(\mathbf{x})}{D}} d\mathbf{x}}{\frac{1}{4Dn\epsilon} \int_{\Omega} e^{-\frac{\Phi(\mathbf{x})}{D}} k(\mathbf{x}) d\mathbf{x} + e^{-\frac{\Phi_0}{D}}} \Rightarrow \lim_{n\epsilon \rightarrow \infty, n\epsilon^2 \ll 1} \tau_n = 0$$

Résultats Électrostatiques ($\mathbf{b} = \mathbf{0}, k = 0$)

$$\tau_n = \frac{\frac{1}{4Dn\epsilon} \int_{\Omega} e^{-\frac{\Phi(\mathbf{x})}{D}} d\mathbf{x}}{\frac{1}{4Dn\epsilon} \int_{\Omega} e^{-\frac{\Phi(\mathbf{x})}{D}} k(\mathbf{x}) d\mathbf{x} + e^{-\frac{\Phi_0}{D}}} \Rightarrow \lim_{n\epsilon \rightarrow \infty, n\epsilon^2 \ll 1} \tau_n = 0$$

Résultats Électrostatiques pour $k = 0$ et $\mathbf{b} = \mathbf{0}$ (H.C. Berg and M. Purcell, **Biophys. J.** 20 (1977)) :

$$\tau_n = \frac{|\Omega|}{D} \left(\frac{1}{C_{\Sigma}} + \frac{1}{4N\epsilon} \right).$$

où C_{Σ} = capacitance du noyau
(pour une sphère de rayon $\delta \Rightarrow C_{\Sigma} = 4\pi\delta$).

$$P_n = 1 - \int_{\Omega} k(\mathbf{x})\tilde{p}(\mathbf{x})d\mathbf{x}$$
$$\tau_n = \frac{\int_{\Omega} \tilde{p}(\mathbf{x})d\mathbf{x} - \int_0^{\infty} \int_{\Omega} k(\mathbf{x})t\rho(\mathbf{x}, t)d\mathbf{x}dt}{P_n}$$

avec $\tilde{p}(\mathbf{x}) = \int_0^{\infty} \rho(\mathbf{x}, t)dt$

- **étape 1** Équation de Fokker-Planck et fonction de Green
- **étape 2** Identité de Green
- **étape 3** Asymptotique en ϵ , $k \ll 1$
- **étape 4** Système Linéaire
- **étape 5** Asymptotique pour $n \gg 1$

Équation de Fokker-Planck pour $\tilde{p}(\mathbf{x})$

$$D\Delta\tilde{p} - \nabla(\tilde{p}\nabla b(\mathbf{x})) - k(\mathbf{x})\tilde{p} = -p_i(\mathbf{x}).$$

conditions au bord: $\tilde{p} = 0$ sur $\partial\Omega_a = \bigcup_{i=1}^n \partial\Omega_i$ (pores nucléaires)
et $\tilde{J}(\mathbf{x}) \cdot n_{\mathbf{x}} = 0$ sur $\partial\Omega - \partial\Omega_a$.

$\partial\Omega_a = n$ trous absorbants $\partial\Omega_i$ (rayon ϵ , centrés en $(\mathbf{x}_i)_{i=1}^n$ sur Σ)

Fonction de Green $\mathcal{N}(\mathbf{x}, \mathbf{x}_0)$

$$D\Delta\mathcal{N}(\mathbf{x}, \mathbf{x}_0) = -\delta_{\mathbf{x}_0}(\mathbf{x}), \quad \mathbf{x} \in \Omega, \quad \text{et} \quad D\frac{\partial\mathcal{N}}{\partial n}(\mathbf{x}, \mathbf{x}_0) = -\frac{1}{|\partial\Omega|} \quad \mathbf{x} \in \partial\Omega.$$

Étape 2: Identité de Green

$$\int_{\Omega} (D\Delta\tilde{p}(\mathbf{x}) - \nabla \cdot \mathbf{b}\tilde{p}(\mathbf{x}) - k\tilde{p}(\mathbf{x})) \mathcal{N}(\mathbf{x}, \mathbf{x}_0) - D\Delta\mathcal{N}(\mathbf{x}, \mathbf{x}_0)\tilde{p}(\mathbf{x}) d\mathbf{x},$$

Identité de Green + Équations de l'étape 1 \Rightarrow

$$\begin{aligned} \int_{\Omega} (k(\mathbf{x})\tilde{p} - p_i(\mathbf{x})) \mathcal{N}(\mathbf{x}, \mathbf{x}_0) d\mathbf{x} &= - \int_{\partial N_a} \tilde{\mathbf{J}}(\mathbf{x}) \cdot \mathbf{n}_x \mathcal{N}(\mathbf{x}, \mathbf{x}_0) d\mathbf{x} \\ &+ \int_{\Omega} \mathbf{b}(\mathbf{x}) \cdot \nabla \mathcal{N}(\mathbf{x}, \mathbf{x}_0) \tilde{p}(\mathbf{x}) d\mathbf{x} \\ &+ \frac{1}{|\partial\Omega|} \int_{\partial\Omega} \tilde{p}(\mathbf{x}) d\mathbf{x} - \tilde{p}(\mathbf{x}_0) \end{aligned}$$

Étape 3: Asymptotiques en $\epsilon, k \ll 1$

- $\tilde{p}(\mathbf{x}) \approx C_\epsilon e^{-\frac{\Phi(\mathbf{x})}{D}}$ avec $\lim_{\epsilon \rightarrow 0} C_\epsilon = +\infty$
 $\Rightarrow \frac{1}{|\partial\Omega|} \int_{\partial\Omega} \tilde{p}(\mathbf{x}) d\mathbf{x} + \int_{\Omega} \mathbf{b}(\mathbf{x}) \cdot \nabla \mathcal{N}(\mathbf{x}, \mathbf{x}_0) \tilde{p}(\mathbf{x}) d\mathbf{x} \approx C_\epsilon e^{-\frac{\Phi(\mathbf{x}_0)}{D}}$
- $\int_{\Omega} p_i(\mathbf{x}) \mathcal{N}(\mathbf{x}, \mathbf{x}_i) d\mathbf{x}$ indépendant de ϵ

Asymptotiques en $\epsilon, k \ll 1$

$$\int_{\partial N_a} \tilde{\mathbf{J}}(\mathbf{x}) \cdot \mathbf{n}_x \mathcal{N}(\mathbf{x}, \mathbf{x}_0) d\mathbf{x} + \tilde{p}(\mathbf{x}_0) = C_\epsilon e^{-\frac{\Phi(\mathbf{x}_0)}{D}}$$

Étape 4: Système Linéaire pour $\mathbf{x}_0 = \mathbf{x}_i, 1 \leq i \leq n$

$\mathbf{x}_0 = \mathbf{x}_i, 1 \leq i \leq n$ + singularités:

- $\mathcal{N}(\mathbf{x}, \mathbf{x}_i) = \frac{1}{2\pi D |\mathbf{x} - \mathbf{x}_i|} + \omega_{\mathbf{x}_i}(\mathbf{x})$ avec $\omega_{\mathbf{x}_i}$ une fonction régulière harmonique
- $\tilde{\mathbf{J}}(s = |\mathbf{x} - \mathbf{x}_i|) \cdot \mathbf{n}_s \approx \frac{g_0^i}{\sqrt{\epsilon^2 - s^2}}$

Système Linéaire avec $n + 1$ inconnues ($C_\epsilon, g_1^0, \dots, g_n^0$)

$$\frac{\pi}{2D} g_0^i + 2\pi\epsilon \sum_{j=1, j \neq i}^n \mathcal{N}(\mathbf{x}_j, \mathbf{x}_i) g_0^j = C_\epsilon e^{-\frac{\Phi(\mathbf{x}_i)}{D}}, \text{ for } 1 \leq i \leq n$$

$$2\pi\epsilon \sum_{i=1}^n g_0^i = 1 - C_\epsilon \int_{\Omega} k(\mathbf{x}) e^{-\frac{\Phi(\mathbf{x})}{D}} d\mathbf{x}.$$

Étape 4: Système Linéaire pour $\mathbf{x}_0 = \mathbf{x}_i$, $1 \leq i \leq n$

$\mathbf{x}_0 = \mathbf{x}_i$, $1 \leq i \leq n$ + singularités:

- $\mathcal{N}(\mathbf{x}, \mathbf{x}_i) = \frac{1}{2\pi D |\mathbf{x} - \mathbf{x}_i|} + \omega_{\mathbf{x}_i}(\mathbf{x})$ avec $\omega_{\mathbf{x}_i}$ une fonction régulière harmonique
- $\tilde{\mathbf{J}}(s = |\mathbf{x} - \mathbf{x}_i|) \cdot \mathbf{n}_s \approx \frac{g_0^i}{\sqrt{\epsilon^2 - s^2}}$

Système Linéaire avec $n + 1$ inconnues ($C_\epsilon, g_1^0, \dots, g_n^0$)

$$\frac{\pi}{2D} g_0^i + 2\pi\epsilon \sum_{j=1, j \neq i}^n \mathcal{N}(\mathbf{x}_j, \mathbf{x}_i) g_0^j = C_\epsilon e^{-\frac{\Phi(\mathbf{x}_i)}{D}}, \text{ for } 1 \leq i \leq n$$

$$2\pi\epsilon \sum_{i=1}^n g_0^i = 1 - C_\epsilon \int_{\Omega} k(\mathbf{x}) e^{-\frac{\Phi(\mathbf{x})}{D}} d\mathbf{x}.$$

$$P_n = 1 - C_\epsilon \int_{\Omega} k(\mathbf{x}) e^{-\frac{\Phi(\mathbf{x})}{D}} d\mathbf{x} \text{ et } \tau_n = C_\epsilon \int_{\Omega} e^{-\frac{\Phi(\mathbf{x})}{D}} d\mathbf{x}$$

Étape 5: Asymptotique pour $n \gg 1$

somme des équations du système linéaire + équation de conservation:

$$2\pi\epsilon \sum_{i=1}^n g_0^i = 1 - C_\epsilon \int_{\Omega} k(\mathbf{x}) e^{-\frac{\Phi(\mathbf{x})}{D}} d\mathbf{x}$$

- $\frac{1}{n} \sum_{j=1, j \neq i}^n \mathcal{N}(\mathbf{x}_j, \mathbf{x}_i) \approx \frac{\int_{\partial\Sigma} \mathcal{N}(\mathbf{x}, \mathbf{x}_i) d\mathbf{x}}{|\partial\Sigma|} \approx \frac{1}{DC_\Sigma}$
- $\frac{1}{n} \sum_{i=1}^n e^{-\frac{\Phi(\mathbf{x}_i)}{D}} \approx \frac{\int_{\partial\Sigma} e^{-\frac{\Phi(\mathbf{x})}{D}} d\mathbf{x}}{|\partial\Sigma|}$

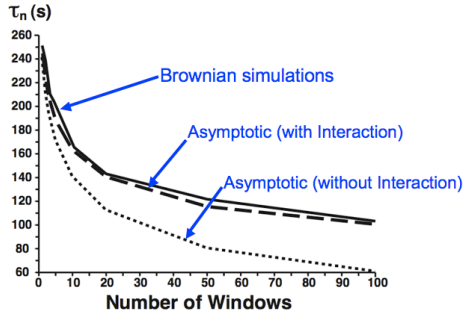
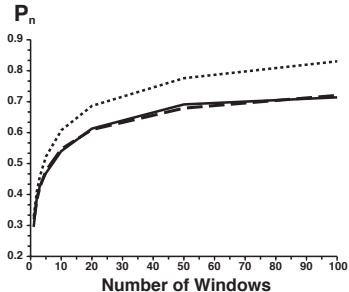
Asymptotique de C_ϵ

$$C_\epsilon = \frac{\frac{1}{4nD\epsilon} + \frac{1}{DC_\Sigma}}{\frac{\int_{\partial\Sigma} e^{-\frac{\Phi(\mathbf{x})}{D}} d\mathbf{x}}{|\partial\Sigma|} + \left(\frac{1}{4nD\epsilon} + \frac{1}{DC_\Sigma} \right) \int_{\Omega} k(\mathbf{x}) e^{-\frac{\Phi(\mathbf{x})}{D}} d\mathbf{x}}$$

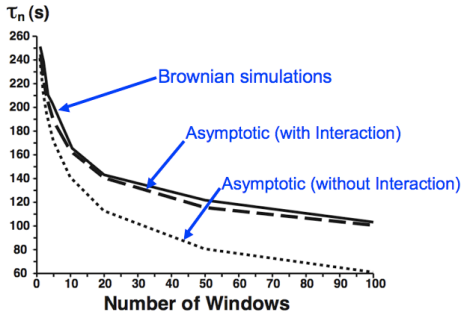
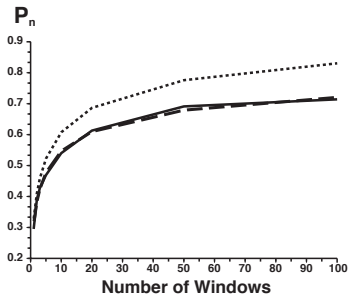
$$\left\{ \begin{array}{l} P_n = \frac{\frac{\int_{\partial\Sigma} e^{-\frac{\Phi(\mathbf{x})}{D}} d\mathbf{x}}{|\partial\Sigma|}}{\left(\frac{1}{4nD\epsilon} + \frac{1}{DC_\Sigma}\right) \int_{\Omega} k(\mathbf{x}) e^{-\frac{\Phi(\mathbf{x})}{D}} d\mathbf{x} + \frac{\int_{\partial\Sigma} e^{-\frac{\Phi(\mathbf{x})}{D}} d\mathbf{x}}{|\partial\Sigma|}}, \\ \tau_n = \frac{\left(\frac{1}{4nD\epsilon} + \frac{1}{DC_\Sigma}\right) \int_{\Omega} e^{-\frac{\Phi(\mathbf{x})}{D}} d\mathbf{x}}{\left(\frac{1}{4nD\epsilon} + \frac{1}{DC_\Sigma}\right) \int_{\Omega} k(\mathbf{x}) e^{-\frac{\Phi(\mathbf{x})}{D}} d\mathbf{x} + \frac{\int_{\partial\Sigma} e^{-\frac{\Phi(\mathbf{x})}{D}} d\mathbf{x}}{|\partial\Sigma|}}. \end{array} \right.$$

Sans Interaction: $P_n = \frac{e^{-\frac{\Phi_0}{D}}}{\frac{1}{4nD\epsilon} \int_{\Omega} e^{-\frac{\Phi(\mathbf{x})}{D}} k(\mathbf{x}) d\mathbf{x} + e^{-\frac{\Phi_0}{D}}}$

Surface du noyau recouverte par les pores = 2%



Surface du noyau recouverte par les pores = 2%



- PTPM avec 1 gros trou = $2 \times$ PTPM avec 100 trous
- Contributions biologiques relatives: $\frac{1}{DC_\Sigma} \approx 2 - 6 \times \frac{1}{4nD\epsilon}$
($n = 1000 - 3000$, 1 - 3% de la surface du noyau recouverte)

- 1 Efficacité virale: $P_n = 95\%$ et $\tau_n \approx 3min$
- 2 Sans dérive: $\tau_n = 15min \Rightarrow$ Transport actif efficace
- 3 PTPM avec 1 gros trou = $2 \times$ PTPM avec 100 trous
- 4 Contributions biologiques relatives: $\frac{1}{DC_\Sigma} \approx 2 - 6 \times \frac{1}{4nD\epsilon}$

- Premiers modèles stochastiques à l'échelle moléculaire des étapes précoces de l'infection virale
- Description de Langevin des trajectoires intermittentes virales avec calibration du terme de dérive
- Extension des résultats asymptotiques de l' "échappée belle" pour une dynamique (dérive+dégradation) et un domaine (plusieurs pores) généraux

Perspectives

- Calibration de la dérive dans une cellule 3-dimensionnelle?
- Impact de la position des pores sur le PTPM?
- Distribution du PTP (calcul des moments)?

FIN

lagache@biologie.ens.fr